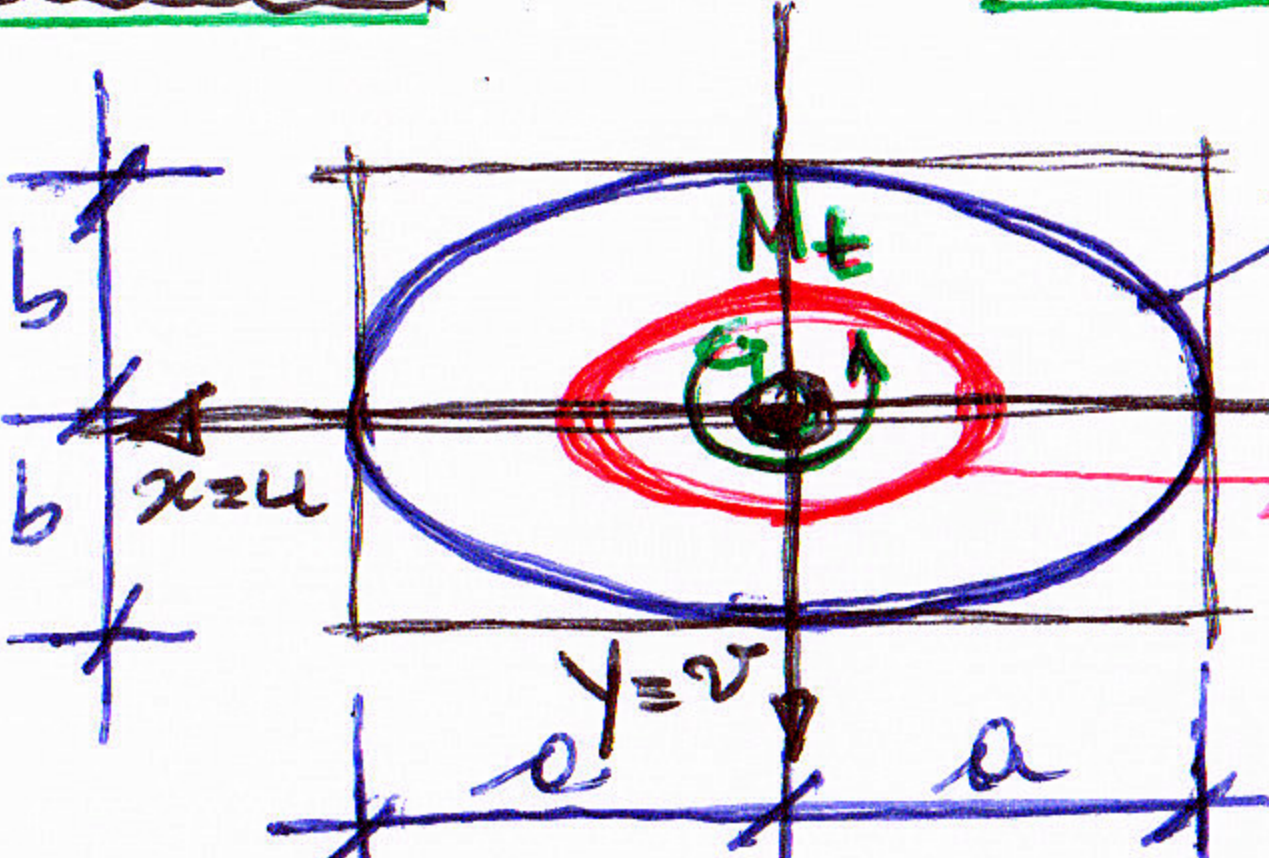


Sezione ellittica soggetta a momento torcente  $M_t$



$$T: \left(\frac{x}{a}\right)^2 + \left(\frac{y}{b}\right)^2 = 1$$

eq. del contorno della sezione

ellisse centrale d'inerzia della sezione (semiassi  $\frac{a}{2}$  e  $\frac{b}{2}$ ) momenti principali d'inerzia  $J_y = \int_A x^2 dA = \frac{\pi}{4} ab^3 = A\left(\frac{b}{2}\right)^2$

### Funzione potenziale di spazio (tale che $\Phi=0$ sul $\Gamma$ ):

f. n. di  $\Phi = K \left(1 - \frac{x^2}{a^2} - \frac{y^2}{b^2}\right)$  e  $K = \text{cost}$  da porre in relazione ad  $M_t$ .

$$\downarrow \nabla^2 \Phi = -2K \left(\frac{1}{a^2} + \frac{1}{b^2}\right) = -2K \frac{a^2+b^2}{a^2 b^2} = -e \quad \text{OK} \rightarrow K = \frac{e}{2} \frac{a^2 b^2}{a^2+b^2} = G\beta \frac{a^2 b^2}{a^2+b^2} = \frac{M_t}{J} \frac{a^2 b^2}{a^2+b^2}$$

ep. n. di Poisson verificata

### Equivolente statica

$$M_t = 2 \int_A \Phi dA = 2K \left(A - \frac{J_y}{a^2} - \frac{J_x}{b^2}\right) = 2KA \left(1 - \frac{1}{h} - \frac{1}{h}\right) = KA = K \pi ab \rightarrow K = \frac{M_t}{A} = \frac{M_t}{\pi ab}$$

dati  $\eta = \left(1 + \frac{(a-b)^2}{2ab}\right)$  quindi compatta

### Espressione alternativa di $J$ :

$$J = \frac{\pi}{4} \frac{\frac{3}{4}b^3}{\frac{a^2+b^2}{4}} \frac{\pi ab}{\frac{\pi ab}{4}} \frac{\pi^2}{\pi^2} = \frac{A^4}{4\pi^2 J_G} = J$$

### Finale:

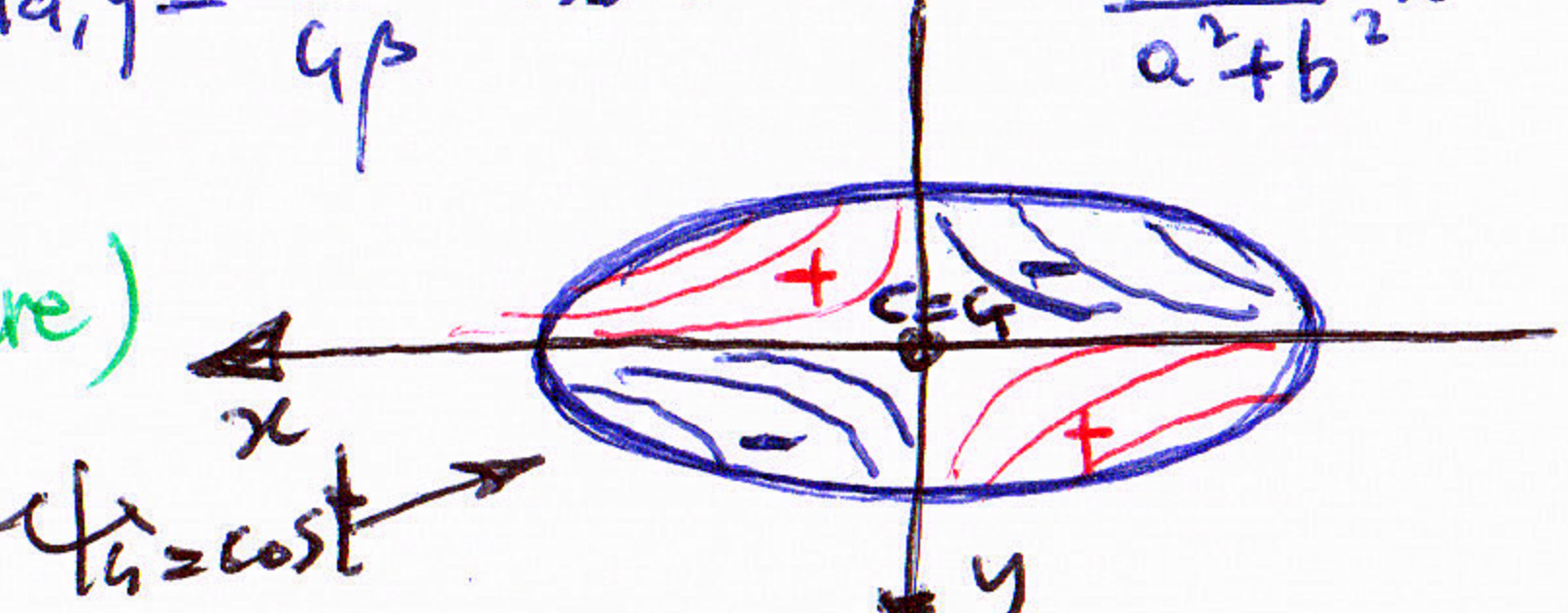
$$\Phi = \frac{M_t}{\pi ab} \left(1 - \frac{x^2}{a^2} - \frac{y^2}{b^2}\right)$$

$$\begin{cases} T_{zx} = \Phi_y = -\frac{2M_t}{\pi ab^3} y \\ T_{zy} = -\Phi_x = +\frac{2M_t}{\pi a^3 b} x \end{cases}$$

Campo delle tensioni tangenz. di punti A e  $J_G$ . Ancora meglio secondo l'approx.

### Funzione di ingombro:

$$\begin{cases} \Psi_{tx}, x = \frac{1}{G\beta} \Phi_y y + y = -\frac{a^2-b^2}{a^2+b^2} y \\ \Psi_{ty}, y = -\frac{1}{G\beta} \Phi_x x - x = -\frac{a^2-b^2}{a^2+b^2} x \end{cases}$$



$$\Psi_G = \text{cost}$$

Caratt. geometriche della sezione ellittica di semiassi  $a, b$

$$A = \int dA = \pi ab \quad \text{area}$$

$$r_x = \frac{b}{2} \quad \begin{array}{l} \text{size circolare} \\ a=b=R \end{array} \quad A = \pi R^2$$

$$J_x = J_y = \frac{\pi}{4} R^2; J_G = \frac{\pi}{2} R^2$$

momento d'inerzia polare rispetto a G

$$J_G = J_x + J_y = \int r^2 dA = \frac{\pi}{4} ab(a^2+b^2)$$

$$= A r_g^2$$

$$r_g = \frac{a}{2} \quad \begin{array}{l} \text{raggio giratore} \\ \text{d'inerzia} \end{array}$$

$$\frac{a^2+b^2}{4} = r_g^2$$

$$c = 2G\beta; \frac{c}{2} = G\beta = \frac{M_t}{J}$$

$$J = \frac{J_G}{\eta}; \eta = \frac{J_G}{J}$$

fattore  $\eta$  di torsione

momento d'inerzia torsionale

$$J = \frac{\pi a^2 b}{a^2+b^2} = A \frac{a^2 b}{a^2+b^2} \quad \begin{array}{l} \text{(*)} \\ -2ab+2ab \end{array}$$

$$\eta = \frac{J_G}{J} = \frac{a^2+b^2}{4} \frac{a^2+b^2}{a^2 b^2} = \frac{(a^2+b^2)^2}{4 a^2 b^2} = \frac{(a^2+b^2)^2}{2 a b}$$

$$= \frac{1}{4} \left(\frac{a}{b} + \frac{b}{a}\right)^2 \quad \begin{array}{l} \text{per sez. circolare} \\ a=b=R \rightarrow \eta=1 \end{array}$$

DSV ha mostrato che

la sezione generice più incava stimata attraverso questa formula, come metà di sezione ellittica equivalente  $\pi^2 \approx 10$

$$J = \frac{A^4}{40 J_G} \quad \begin{array}{l} \text{(*)} \\ -2ab+2ab \end{array}$$

$$T_z = \sqrt{T_{zx}^2 + T_{zy}^2} = \frac{2M_t}{\pi ab} \sqrt{\left(\frac{x}{a^2}\right)^2 + \left(\frac{y}{b^2}\right)^2}$$

$$\text{lineare in } r = \sqrt{x^2 + y^2} \text{ lungo } y = mx$$

$$\text{coord. radiale } r^2 = (1+m^2)x^2 \quad \text{diametro}$$

$$d\Psi_h = \Psi_{tx} dx + \Psi_{ty} dy = -\frac{a^2-b^2}{a^2+b^2} (y dx + x dy) \quad d(x,y)$$

$$\Psi_G = -\frac{a^2-b^2}{a^2+b^2} xy + \text{cost}$$

$$\int \Psi_G dA = 0 \quad \begin{array}{l} \text{ingobb. descritto da} \\ \text{paraboloidi iperbolico} \end{array}$$

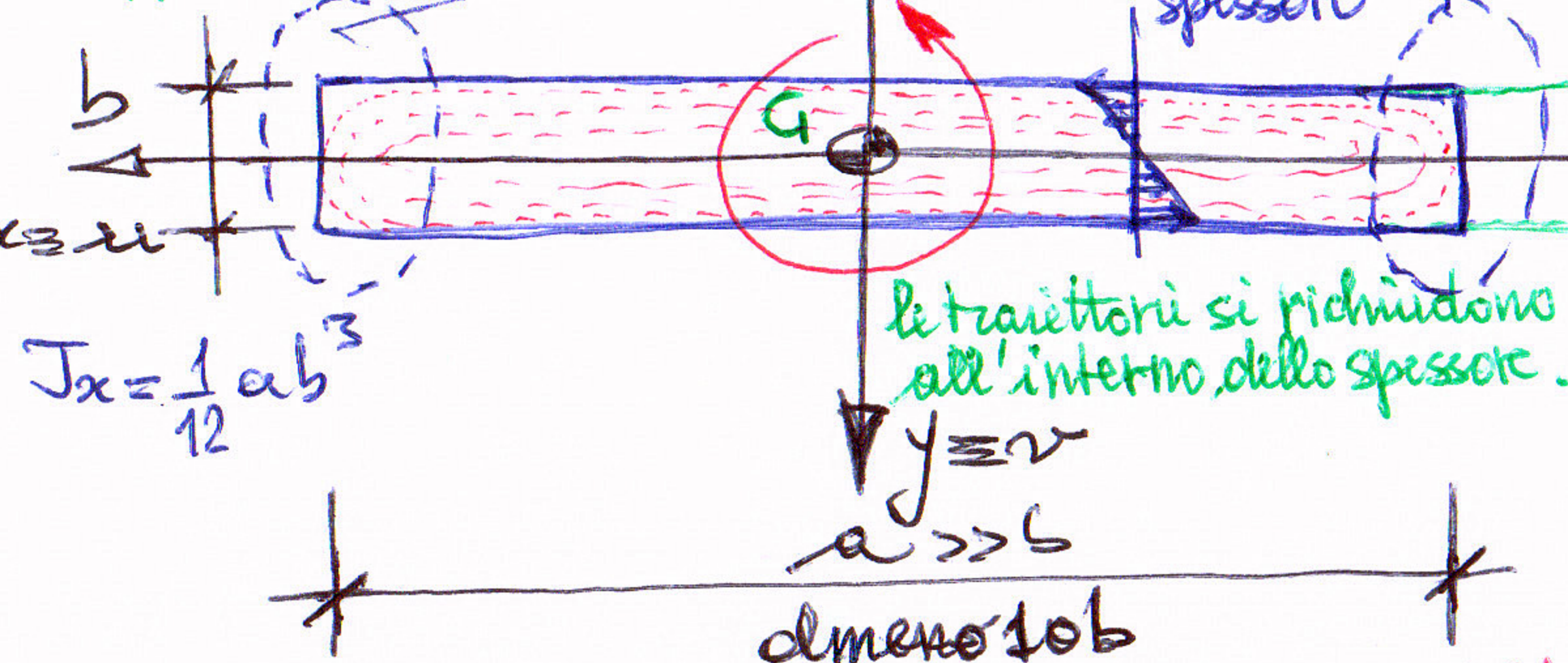
$$A \quad \begin{array}{l} \text{ingobb. medio} \\ \text{nullo della} \\ \text{sezione} \end{array}$$

$$\Psi_{tx} = \frac{2M_t}{\pi R^3} \quad \text{Per } a=b=R \text{ (caso particolare)}$$

$$\Psi_{ty} = \frac{2M_t}{\pi R^3}$$

$$\Rightarrow \text{sez. circolare!}$$

- Profili rettangolari sottili  
(soluzione analitica approssimata)



A\* zone con effetti di bordo

- Soluz. approx. (in quasi tutto A-A\*)

- Analogie idrodinamiche:

$$T_{zx} = -cy, T_{zy} = 0 \text{ in } A$$

- Analogie delle membrane:

$$\text{Equl. } T_{zx,x} + T_{zy,y} = 0 \quad \checkmark$$

$$\text{Congr. } T_{zx,y} - T_{zy,x} = -c \quad \checkmark$$

$$\text{P.e. min } T_{zx} u_x + T_{zy} u_y = 0 \quad \checkmark \text{ (lati lunghi)}$$

dalle eq. v. delle rette  $y + \frac{b}{2} = 0, y - \frac{b}{2} = 0$   
tale da pagare automaticamente la c.e. di Dirichlet su quasi tutto il contorno  $\Gamma$ .

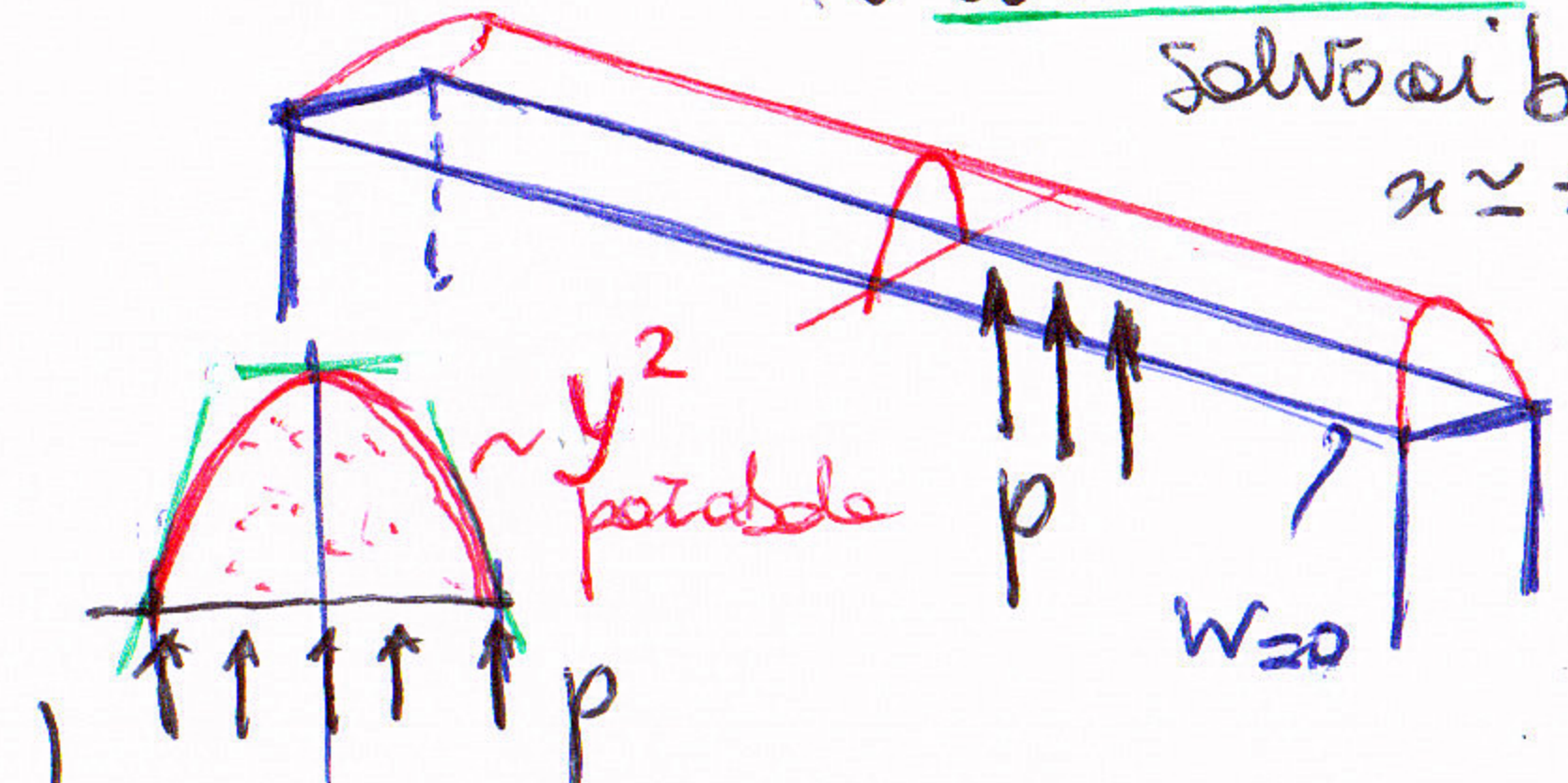
- Funzione di sforzo:

$$\varphi = k \left( \frac{b}{2} + y \right) \left( \frac{b}{2} - y \right) = k \left( \frac{b^2}{4} - y^2 \right) \quad (\Rightarrow \varphi = 0 \text{ su } \Gamma - \Gamma^*)$$

$$\nabla^2 \varphi = -2k = -c \rightarrow k = \frac{c}{2} = \alpha \beta = \frac{M_t}{J}$$

$$T_{zx} = \varphi_{yy} = -2ky = -\frac{2M_t}{J} y = T_{zy} \quad (\text{con } J \text{ ancora da det.})$$

stesso profilo in y vs x



membrane ~ cilindrica

solt. ai bordi  
 $x \approx \pm a$

momento d'inerzia  
torsionale

lato lungo  $\neq$  lato corto  
 $a > b$  (alcubo)

- Equiv. statiche (tra il campo di sforzo conseguente a  $\varphi$  ed il momento torcente  $M_t$  applicato):

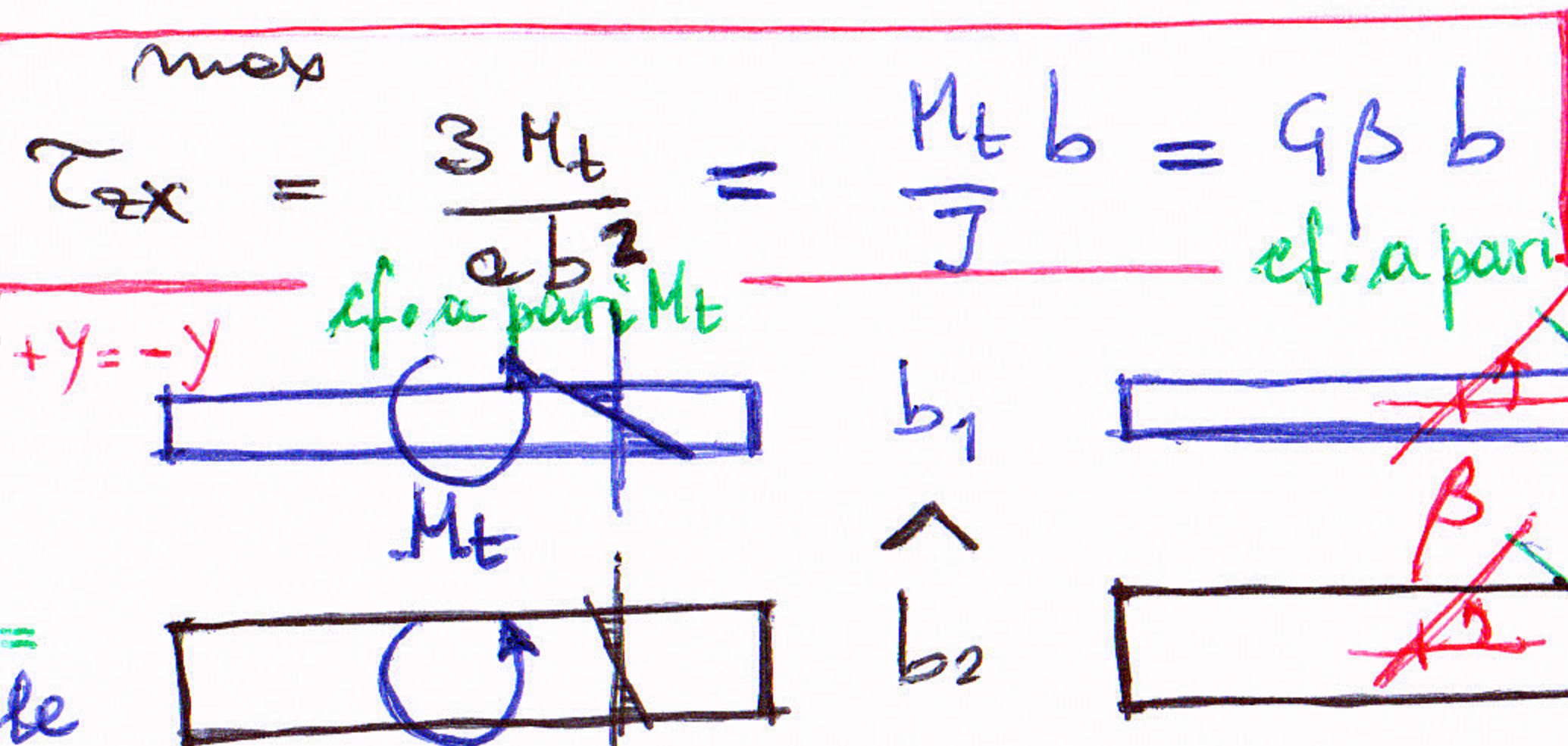
$$M_t = 2 \int_A c \varphi dA = 2k \left( \frac{b^2}{4} ab - J_x \right) = 2k \left( \frac{ab^3}{3} - \frac{1}{12} ab^3 \right) = 2k \frac{1}{6} ab^3 = K \frac{1}{3} ab^3 = \alpha \beta J \Rightarrow J = \frac{1}{3} ab^3 = 4 J_x$$

comunque piccolo

- Quindi, campo di sforzo finale:

$$\begin{cases} T_{zx} = c \varphi_{yy} = -\frac{2M_t}{1/3 ab^3} y = -\frac{6M_t}{ab^3} y \\ T_{zy} = -c \varphi_{xx} = 0 \end{cases} \rightarrow \boxed{T_{zx} = \frac{3M_t}{ab^2} y} = \frac{M_t b}{J} = \alpha \beta b \quad \text{cf. a pari } \beta$$

$$\begin{cases} \text{f.g. } x = \frac{1}{\alpha \beta} \varphi_y + y = -\frac{1}{\alpha \beta} 2 \alpha \beta y + y = -y \\ \text{f.g. } y = -\frac{1}{\alpha \beta} \varphi_x - x = -x \end{cases}$$



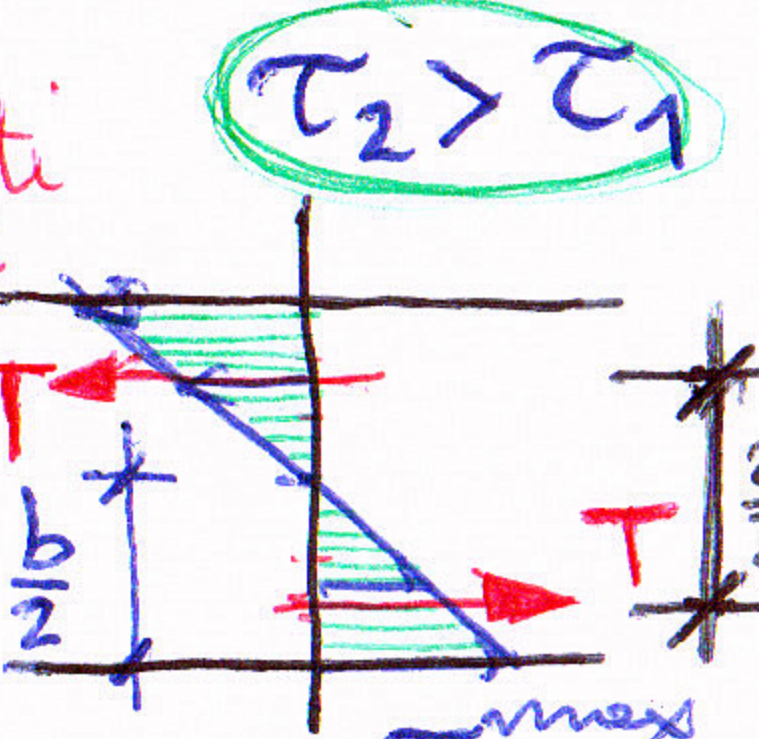
erizzi@unibg.it

profili di uguale a e spessore  $b_1, b_2$  diff. t.

stesse penrose  $\alpha \beta$

Note che  $T_{zx} \rightarrow M_t/2$ , la  $T^{\max}$  è presto determinata:

$$T = \frac{1}{2} \frac{b}{2} T^{\max} = \frac{ab}{4} T^{\max}$$



$$\begin{aligned} M_t &= T \frac{2b}{3} = \frac{ab}{J} T^{\max} \\ T &= \frac{3M_t}{ab^2} \end{aligned}$$

ingombramento  $f_g$   
ritenuto praticam. nullo nei profili rettangolari sottili.

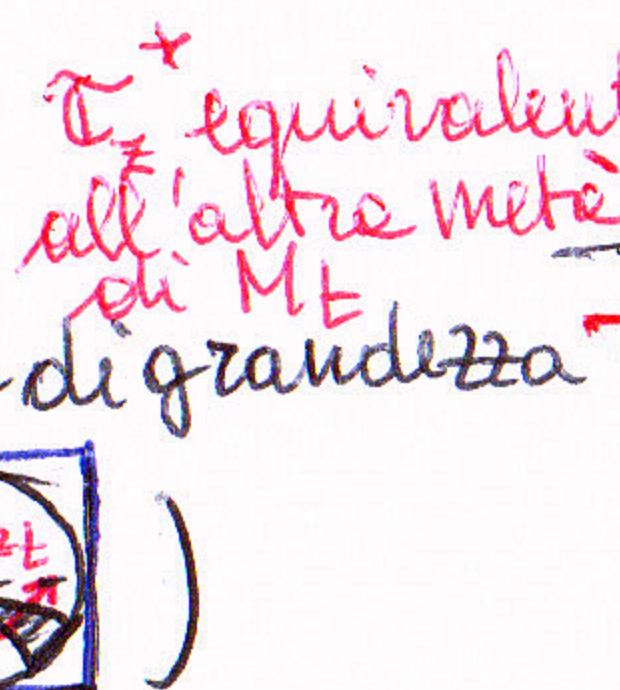
$$f_g = -xy + \text{cost} = \lim_{b \rightarrow 0} f_g = \text{ell (sezione ellittica)}$$

$\tau_{zx}$  trovate equivalenti a solo metà di  $M_t$

N.B.  
min

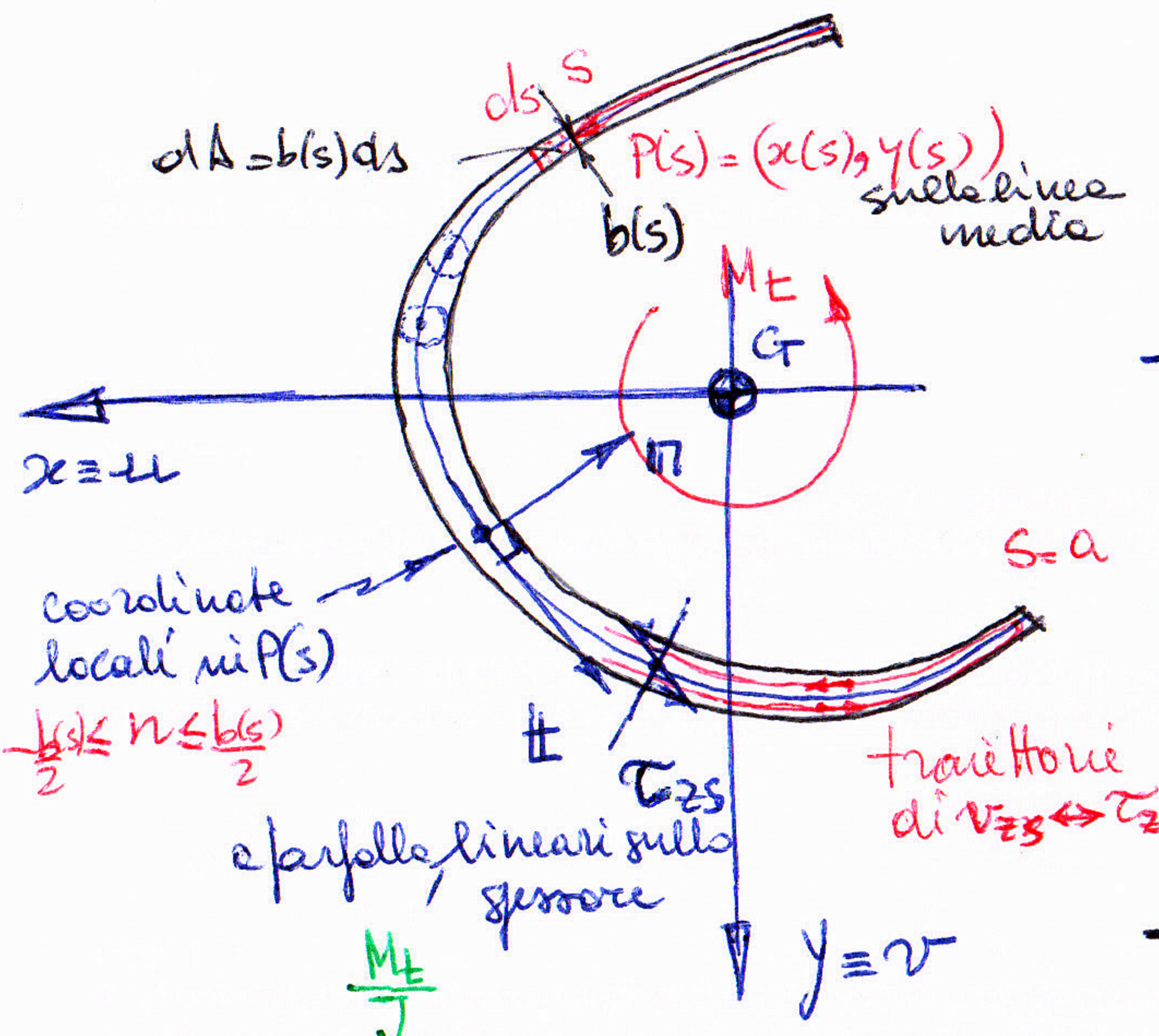
$$\int_A -T_{zx} y dA = \frac{M_t}{2} = \frac{2M_t}{J} J_x = \frac{2M_t}{4Jx}$$

A\* piccola mabrigli grandi  
 $T_2$  in Asso equiv. a  $M_t/2$   
(bracci  $\sim a$ ), dell'ordine di grandezza  
di  $T_{zx}$  (v. Corradi  $\rightarrow$   $T_{zx}$  lineari in r)



21a

→ Torsione nei profili sottili aperti

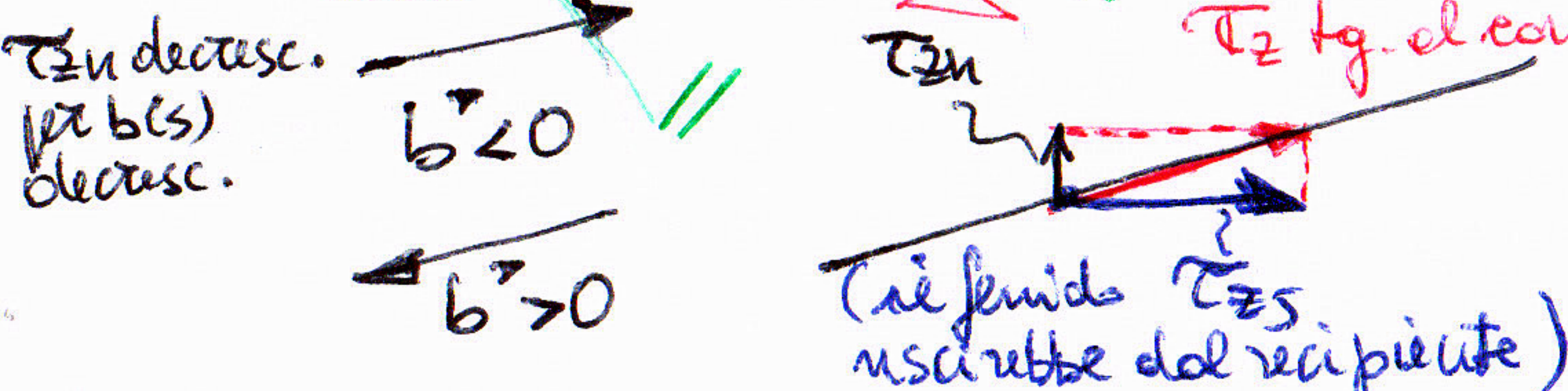
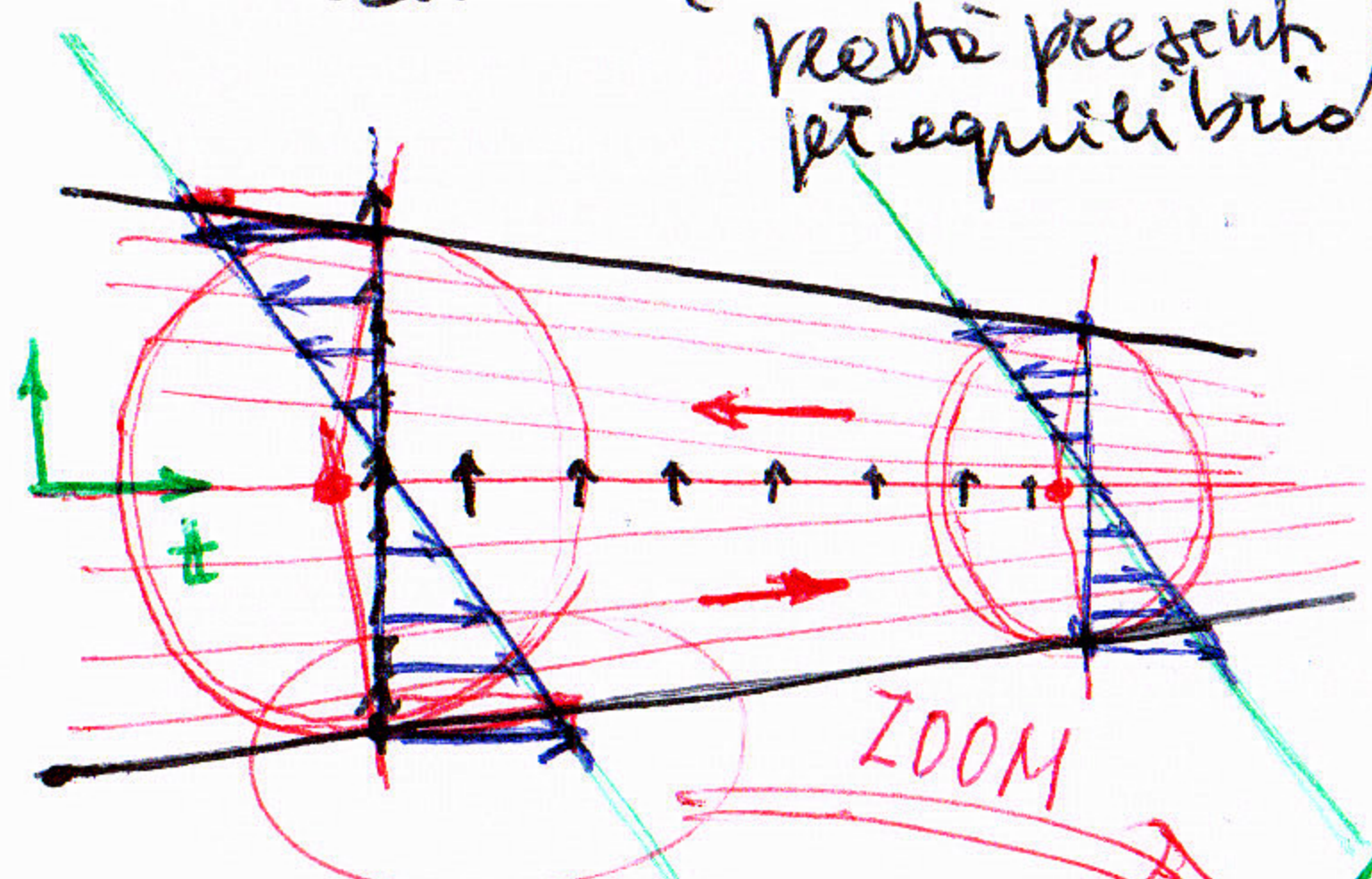


$$\Phi(s, n) = C\beta \left( \frac{b^2(s)}{4} - n^2 \right) \rightarrow \begin{cases} T_{2S} = \Phi_{n,n} = -2C\beta n = -c n \text{ lineari a spalle sullo spessore} \\ T_{2n} = -\Phi_{n,s} = -C\beta \frac{b(s)}{2} b'(s) \approx 0 \text{ per piccole variazioni di spessore (dovendo } b(s) \text{ rimanere piccolo)} \end{cases}$$

Quindi, localmente:

$$T_{2S}(s, n) = -2 \frac{M_t}{J} n \rightarrow T_{2S}(s) = \frac{M_t b(s)}{J} \text{ sullo spessore}$$

o  $T_{2n}=0$  (anche se in realtà presenti per equilibrio)



- $s$ : ascissa curvilinea ( $0 \leq s \leq a$ )

- $a$ : sviluppo delle linee medie del profilo

- $b(s)$ : spessore, in generale variabile, piccolo rispetto allo sviluppo delle linee medie:  $b(s) \ll a$
- Caratteristiche geometriche: (riferite alle linee medie → integrali di linea), (rigidità variabile ma con continuità e continuità con variazioni piccole)

$$A = \int dA = \int_0^a b(s)ds$$

$$J_x = \int_A y^2 dA \approx \int_0^a y(s) b(s) ds$$

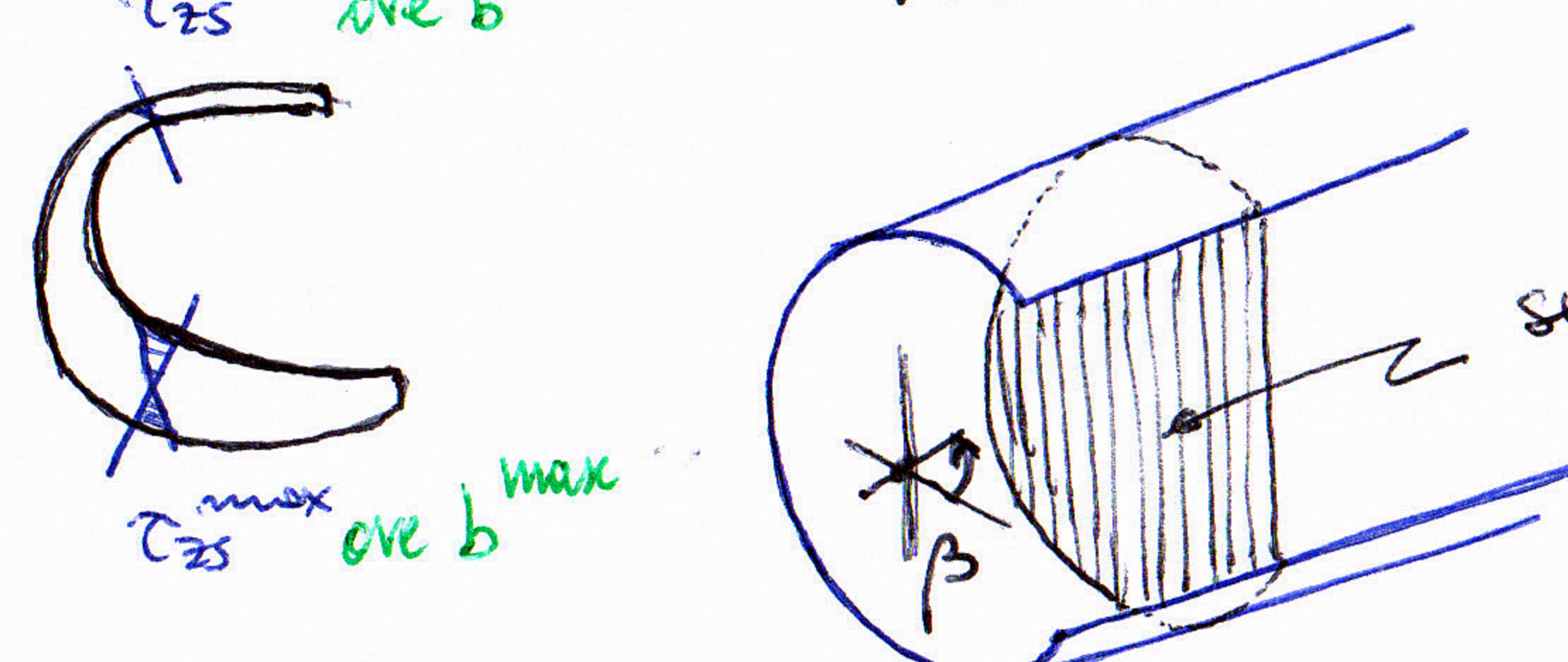
$$J_y = \int_A x^2 dA \approx \int_0^a x^2(s) b(s) ds$$

- In base all'analoga delle membrane si considera che ogni rettangolino  $b(s)ds$  si comporti secondo le soluzioni viste per un rettangolo sottile:

$$T_{2S} = \Phi_{n,n} = -2C\beta n = -c n \text{ lineari a spalle sullo spessore}$$

$T_{2n} = -\Phi_{n,s} = -C\beta \frac{b(s)}{2} b'(s) \approx 0$  per piccole variazioni di spessore (dovendo  $b(s)$  rimanere piccolo)

Poiché i vari rettangolini  $b(s)ds$  si riferiscono sotto posti alle stesse rotazione unitaria  $\beta$  dell'intero set., le  $T_{2S}^{max}$  al variare di  $s$  si registreranno dove lo spessore è max (cioè perché il cf. è a po'  $\beta$ , non a pari  $M_t$ ).



setti trasversali di rigidoimento - Volti e foranti che le set. resti rigide nel suo pieno, con unica rotazione  $\beta$  per tutte le sezioni (altrimenti il postulato di DSV potrebbe perdere di validità per i profili sottili)

: Le  $T_{2n}$ , trascurabili, sono forse tali da imporre il rispetto dell'eguale al contorno e spiegano come le corrisp.  $v_{2n}$  garantiscono la costanza delle portate (c'è parte di portata trasversale alla linea media)

- Resta da determinare  $J$ : Per equivalenze statiche: a

$$M_t = \int_A f_t dA = 2G\beta \int_0^a \left( \frac{b^2(s)}{4} - n^2 \right) ds \quad ds dm = 2G\beta \int_0^a \left( \frac{b^3(s)}{4} - \frac{n^3}{3} \right) ds = 2G\beta \int_0^a b^3(s) \left( \frac{1}{4} - \frac{1}{3} \cdot \frac{1}{4} \right) ds = 2G\beta \int_0^a \frac{1}{4} \cdot \frac{1}{3} b^3(s) ds = G\beta J$$

con  $J = \int_0^a ds \int_{-\frac{b}{2}}^{\frac{b}{2}} b^3(s) ds \rightarrow$  somma dei momenti d'inerzia torsionali di ogni rettangolino  $b(s) ds$ .



$$G\beta = \frac{M_t}{J} = \frac{dM_t}{dJ} \rightarrow dM_t = \frac{dJ}{J} M_t \text{ quota parte che interessa } b(s) ds \rightarrow \tau(s) = \frac{dM_t}{dJ} b = \frac{M_t}{J} b(s)$$

- Funzione di ingombro (riferite alla linea media):  $\psi_a = \psi_a(s)$

**campo di spostam.**

$$\begin{cases} \Delta x = -\beta z y \\ \Delta y = \beta z x \\ \Delta z = \beta^2 \psi_a(x, y) \end{cases}$$

Infatti:

$$\begin{cases} T_{zx} = G\beta (\psi_a, x - y) \\ T_{zy} = G\beta (\psi_a, y + x) \end{cases} \rightarrow T_{zs} = T_z \cdot I = T_{zx} t_x + T_{zy} t_y = G\beta (\psi_a, x t_x + \psi_a, y t_y - y t_x + x t_y)$$

$$\frac{T_{zs}}{I} = \gamma_{zs} = \alpha_{z,s} + \alpha_{s,z} = \beta \left( \psi_a, s + r_a \right) \rightarrow \boxed{\psi_{a,s} = \frac{T_{zs}(s)}{G\beta} - r_a(s)}$$

o anche  $d\psi_a = \frac{T_{zs}}{G\beta} ds - \frac{2}{2} r_a(s) ds$

profili APERTI

$$= \boxed{\frac{T_{zs}}{G\beta} ds - 2 d\psi_a = d\psi_a}$$

$\Omega_a$ : area settoriale

- Poiché qui  $\tau_{zs}(s) = 0$  lungo le linee medie ( $\tau_{zs}$  a forza nulla):

$$d\psi_a = -2 d\Omega_a \rightarrow \psi_{a,s} = -2 (\bar{\Omega}_s(s) - \bar{\Omega}_s) \quad \text{con} \quad \bar{\Omega}_s = \frac{1}{A} \int_0^a \bar{\Omega}_s(s) b(s) ds \quad \text{valore medio di } \bar{\Omega}_s(s) \text{ in } A$$

(con  $\bar{\Omega}_s = 0$ ) La f. ne area settoriale definisce l'ingombro del profilo aperto

ingombro medio fuori piano nullo

← rotazioni medi fuori piano nullo

erizzi@unibo.it

**CENTRO DI TORSIONE**

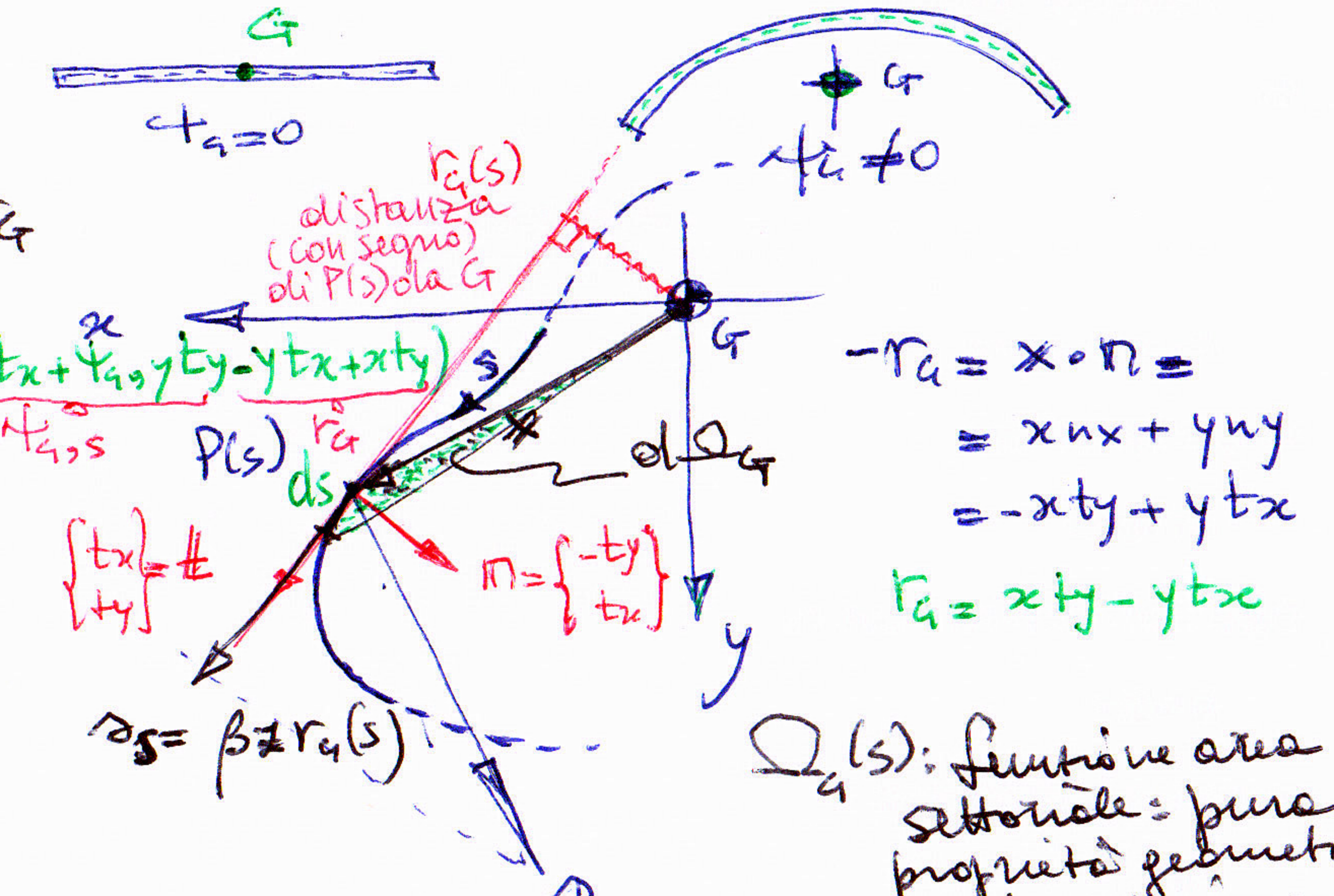
$$\begin{cases} x_c = -\frac{1}{J_x} \int_0^a \psi_a(s) y(s) b(s) ds \\ y_c = \frac{1}{J_y} \int_0^a \psi_a(s) x(s) b(s) ds \end{cases}$$

Tale per cui:  $\int_A \psi_c dA = 0$

$\psi_c$ : f.nedi  
ingombro  
riferita al  
centro di  
torsione

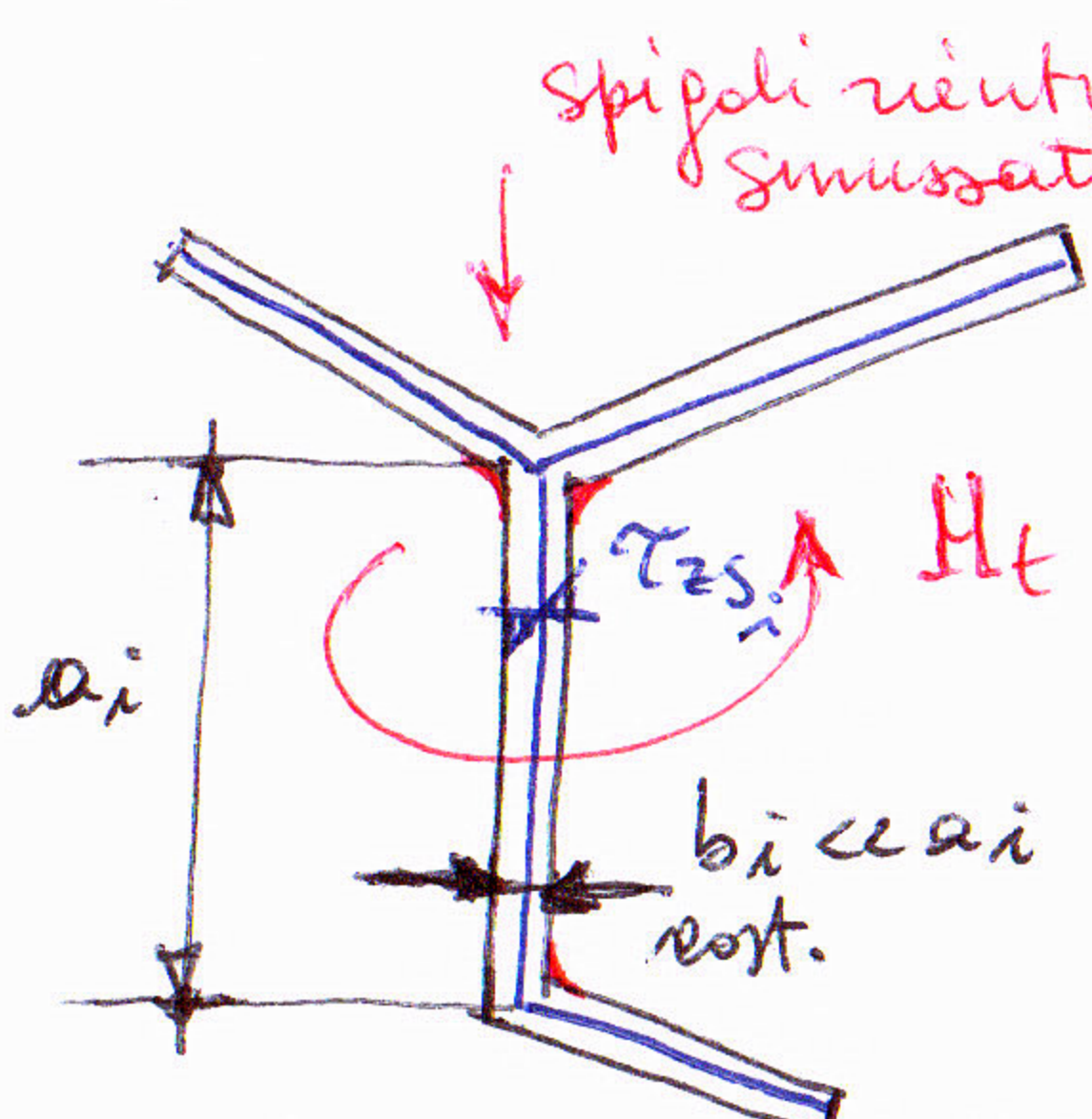
$$\int_A \psi_c x dA = 0$$

$$\int_A \psi_c y dA = 0$$



$\Omega_a(s)$ : funzione area settoriale = pure proprietà geometriche delle sezioni

## • Profili sottili aperti formati da rettangoli allungati (molto usati in pratica)



-  $A = \sum_i a_i b_i$

-  $J_x = \sum_i J_{x_i}$

-  $J_y = \sum_i J_{y_i}$

ove  $J_{x_i}, J_{y_i}$  sono calcolati  
a partire da  $(J_{\bar{x}_i}), J_{\bar{y}_i}$  ove

$$\begin{cases} J_{\bar{x}_i} = J_{y_i} \sin^2 \gamma_i \\ J_{\bar{y}_i} = J_{y_i} \cos^2 \gamma_i \\ J_{\bar{x}\bar{y}_i} = J_{y_i} \sin \gamma_i \cos \gamma_i \end{cases}$$

riferimento  
locale al tratto  
i-esimo

spessore, piccola  
altezza  
in genere  
si trascura

- momento  
d'inerzia  
torsionale

$J = \sum_i \frac{1}{3} a_i b_i^3 = \sum_i J_i$

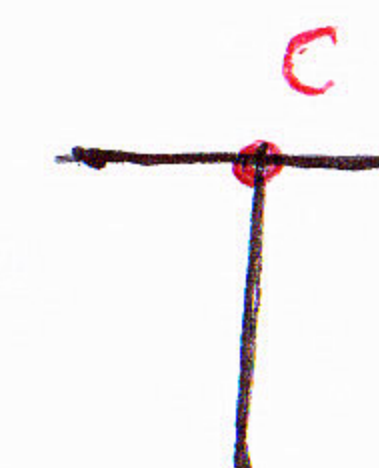
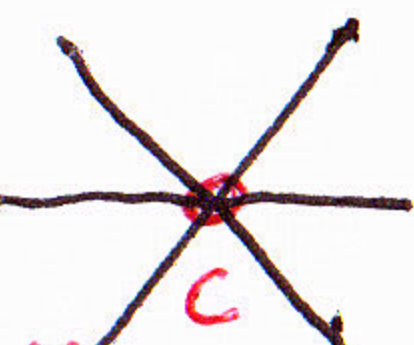
$\Rightarrow \text{Se } b_i = \text{cost} = b, J = \frac{1}{3} a b^3$  ( $a = \sum a_i$ , sviluppo della linea media)

-  $\tau_{zsi} = \frac{M_{ti}}{J_i} b_i = \frac{M_t}{J} b_i$  e max ore  $b_i$  è max ( $\beta = \frac{M_t}{a J} = \frac{M_{ti}}{G J_i} = \beta_i$ ) stessa rotazione per tutti i rettangoli sottili componenti la sezione

- Funz. ne di rigibbamento:  $\psi_c(s_i) = 2(\bar{\ell}_c - \ell_c(s_i))$  è lineare in  $s_i$  (essendo  $r_{c,i} = \text{cost}$  lungo ilrett. i-esimo)  
funz. ne lineare a tratti

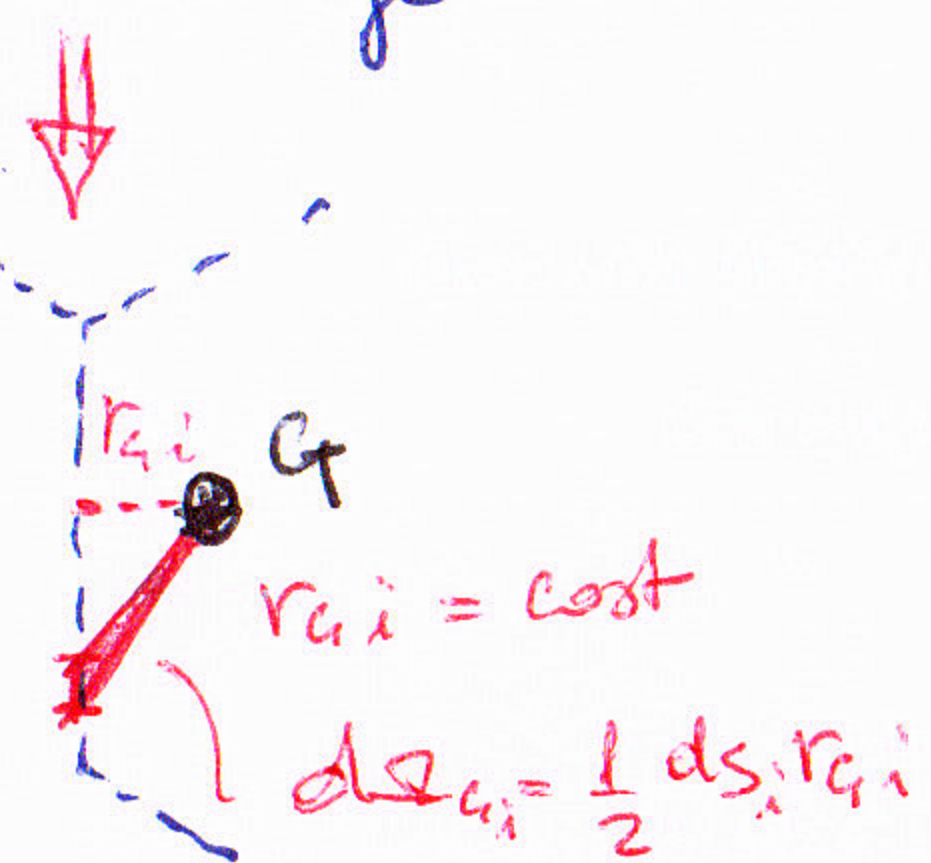
- Nei profili a stella:

linee medie che si intersecano tutte in un p.to (centro delle stelle)



$\Omega_c = 0$  ( $r_{c,i} = 0$ )

✓ poiché tutte le  $r_{c,i}$  sono identiche



$$\Rightarrow \Omega_{c,i} = \frac{1}{2} \ell_{c,i} s_i + \text{cost}$$

è quindi chiaro che gli inferudori al centro delle stelle, risulta  $\psi_c = 0$ , quindi tal punto è il centro di torsione -

(poiché automaticamente  $\int f_c dA = 0, \int f_c x dA = 0, \int f_c y dA = 0$ )

- Pertanto, i profili a stella hanno rigibbamento nullo riferito a C,  $\psi_c = 0$ .

Non possiedono ulteriori capacità portanti torsionali secondarie da event. ingibbamento impedito da vincoli esterni  $\Rightarrow$  tra i profili aperti, che si comportano male a torsione (vedi successivamente cf. coi profili chiusi, molto più efficaci), sono particolarmente inefficaci in quanto non possono beneficiare delle ulteriori risorse secondarie de ingibbamento ev. impedito.

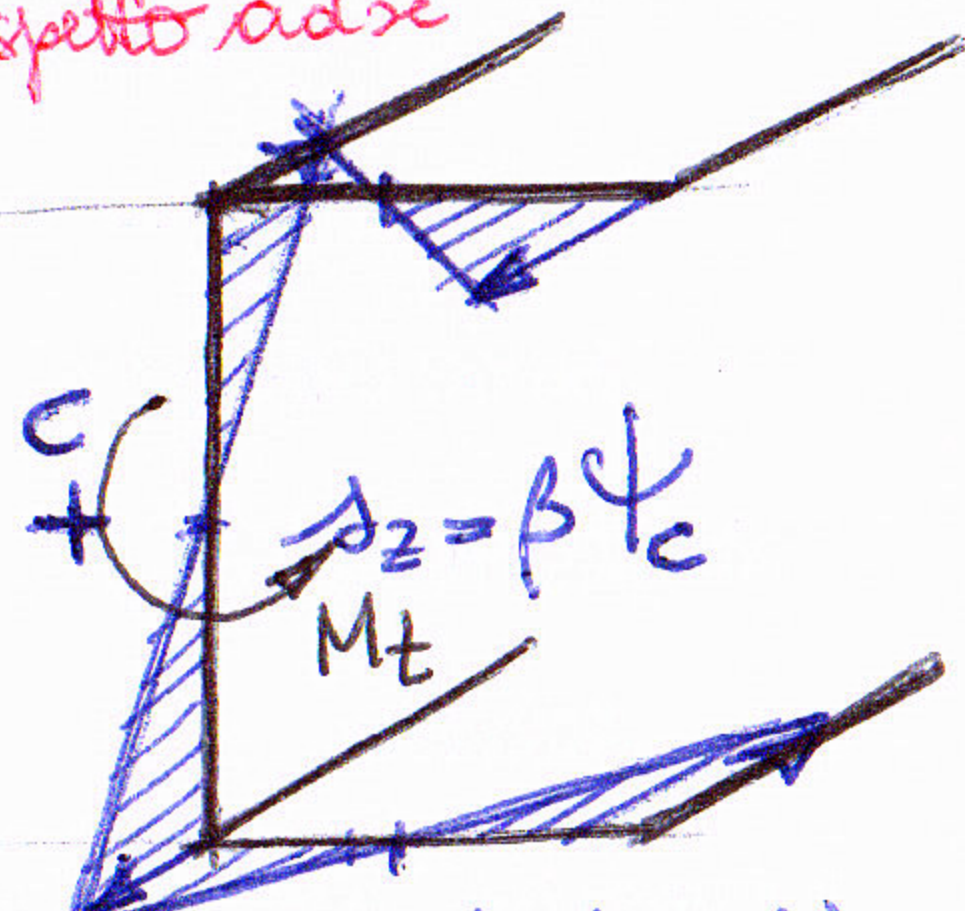
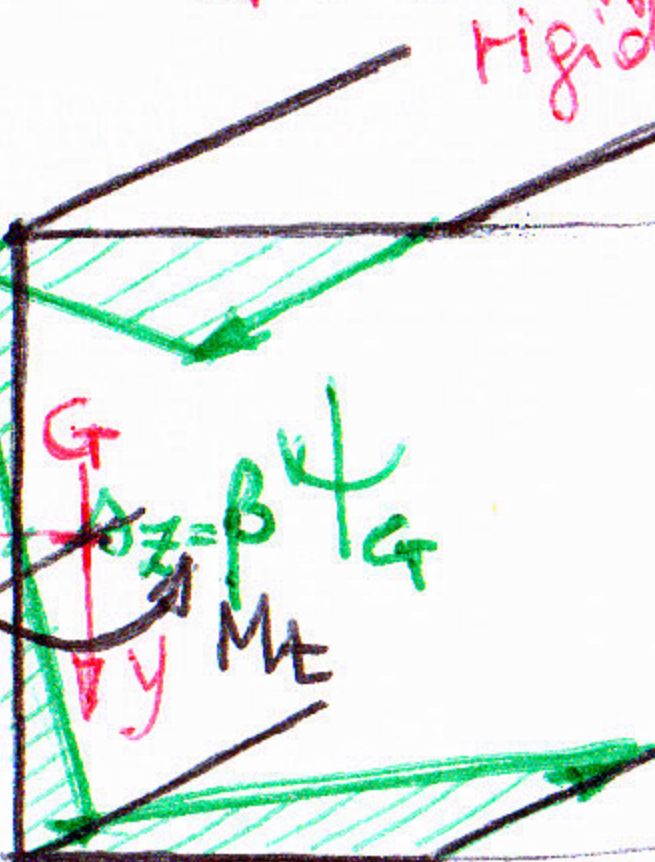
Eg.:

f. med. di ingibbam.

di profilo a C

$\alpha_z = \beta \psi_c$

$M_t$



v. testo di  
I. Corradi

egidio.rizzi@unibg.it